

УДК 547.992.2:662.73

Влияние окислительного модифицирования на химический состав и свойства угля месторождения Хушуут (Монголия)

С. А. СЕМЕНОВА¹, Н. И. ФЕДОРОВА¹, Д. П. ИВАНОВ², А. Н. ЗАОСТРОВСКИЙ¹, З. Р. ИСМАГИЛОВ^{1,2}¹Институт углехимии и химического материаловедения Сибирского отделения РАН, проспект Советский, 18, Кемерово 650000 (Россия)

E-mail: iuxm@yandex.ru

²Институт катализа им. Г. К. Борескова Сибирского отделения РАН, проспект Академика Лаврентьева, 5, Новосибирск 630090 (Россия)

E-mail: bic@catalysis.ru

(Поступила 29.03.12; после доработки 03.05.12)

Аннотация

Приведены результаты сравнительного анализа влияния окислительного модифицирования, проведенного с использованием озона, оксида азота (I) и низкотемпературной кислородной плазмы, на химический состав угля месторождения Хушуут (Монголия) и его способность к термической деструкции.

Ключевые слова: угли Монголии, озонирование, обработка оксидом азота (I), окисление в кислородной плазме

ВВЕДЕНИЕ

Твердые горючие ископаемые Монголии представлены широким рядом гумусовых углей: от наименее зрелых бурых до наиболее метаморфизованных тощих. Хушуутское месторождение тощих каменных углей расположено в западной части Монголии в Кобдоском аймаке. Месторождение относится к Монголо-Алтайскому бассейну и представлено двумя угольными пластами мощностью 15 и 35 м. Разведанные запасы составляют около 88 млн т. В малых количествах уголь потребляется местным населением для энергетических нужд [1]. Промышленная разработка угля в целевые продукты в настоящее время не осуществляется. Обширные доступные запасы и высокий химический потенциал каменных углей Монголии определяют актуальность поиска рациональных путей их комплексного использования, основанных на знании структуры, свойств углей, химизма пиролитических превращений и способов управления ими.

В последние десятилетия при исследовании углей большое внимание уделяется поиску эффективных методов предварительной активации сырья, предшествующей его термохимической переработке, что позволяет снизить энергозатраты или получить новую, более ценную продукцию с заданными свойствами. С развитием этого направления во многом связывается также решение проблемы повышения реакционной способности углей и создания эффективных технологий нового поколения.

В данной работе изложены результаты исследования влияния различных способов окислительного модифицирования угля монгольского месторождения Хушуут на изменение его физико-химических свойств и реакционной способности в процессе термической деструкции.

ЭКСПЕРИМЕНТАЛЬНАЯ ЧАСТЬ

В качестве методов предварительного воздействия использовали нетрадиционные для промышленных технологий углепереработки

способы модификации – озонирование, обработку оксидом азота (I) и окисление в низкотемпературной кислородсодержащей плазме (НТКП). Данные методы привлекались [2–4] для модификации поверхности полимеров, углеродных материалов и ископаемых углей с целью придания им гидрофильных свойств.

Озонирование угля (навеска 5 г) проводили в среде хлороформа при 25 °C в термостатированном вращающемся реакторе с непрерывной подачей озонокислородной смеси (2–2.2 об. % озона) в течение 3 ч [5]. Выход растворимых в хлороформе веществ составил <1 %.

Обработку угля (10 г) оксидом азота (I) медицинской квалификации (99.8 %) проводили в реакторе из нержавеющей стали (Parr Instrument) вместимостью 100 см³ в среде бензола (соотношение 1 : 5). Реактор продували гелием и при перемешивании вводили 8.3 г оксида азота (I). Давление в реакторе составляло 16 атм, температура 230 °C, продолжительность обработки 12 ч. Обработанный уголь отделяли от бензола фильтрованием и высушивали до постоянной массы в сушильном шкафу при температуре 80 °C [6]. Выход растворимых в бензоле веществ после обработки составил <1 %.

Окисление в НТКП осуществляли на установке, описанной в работе [7], во вращающемся реакторе при следующих условиях: частота 40.68 МГц, мощность 20–70 Вт, напряжение 860–900 В, температура в реакторе 40–50 °C, расход кислорода 5 мл/мин, давление в разрядной зоне реактора 3 мм рт. ст., навеска образца 500 мг. Время обработки (15 мин) соответствовало начальному периоду окисления (потеря массы не более 2 %).

Содержание кислорода в “активной” форме определяли как сумму его количества в виде фенольных, карбонильных и карбоксильных групп, в “неактивной” форме – как разность общего содержания кислорода и содержания идентифицируемых О-групп. Кислородсодержащие группы определяли по следующим методикам: карбонильные – по реакции с гидроксиламином солянокислым, карбоксильные – ацетатным методом, сумму карбоксильных и гидроксильных групп – ионным обменом с гидроксидом натрия.

Выход битумоидов B^d определяли экстракцией угля этанольнобензольной смесью (1 : 1) при

температуре кипения растворителя по методу Грефе в течение 6 ч (погрешность 0.2 %).

Технический анализ углей проводили с использованием стандартных методов. Элементный состав органической массы углей определяли на CHNS-анализаторе ThermoFlash2000; содержание кислорода рассчитывали по разности. ИК-спектры регистрировали на Фурье-спектрометре “Инфраком-ФТ-801” в области 400–4000 см⁻¹. Оптическую плотность полос нормировали по полосе 1460 см⁻¹.

¹³C ЯМР-спектры высокого разрешения в твердом теле регистрировались на приборе Bruker Avance III 300 WB с использованием стандартной методики кросс-поляризации с вращением под магическим углом и развязкой от протонов, подавлением сателлитов вращения (CPTOSS) [8] при частоте 75 мГц. Время контакта 2000 мкс, накопление 1024 сканов, задержка между сканами 5 с, частота вращения образца 5 кГц. При интегрировании сигналов в отдельных спектральных диапазонах получали долю соответствующих атомов углерода от общего их количества. Для этого на спектрах выделяли диапазоны, соответствующие резонансному поглощению следующих групп углеродных атомов, м. д. [8, 9]: 220–185 – атомы углерода карбонильных групп (C=O); 185–165 – атомы углерода карбоксильных и сложноэфирных групп (COO); 165–145 – ароматические атомы углерода, связанные с атомами кислорода (C_{ap}–OH); 145–110, 110–95 – C- и H-замещенные ароматические атомы углерода (C_{ap} + CH_{ap}); 95–60 – атомы углерода алкильных фрагментов

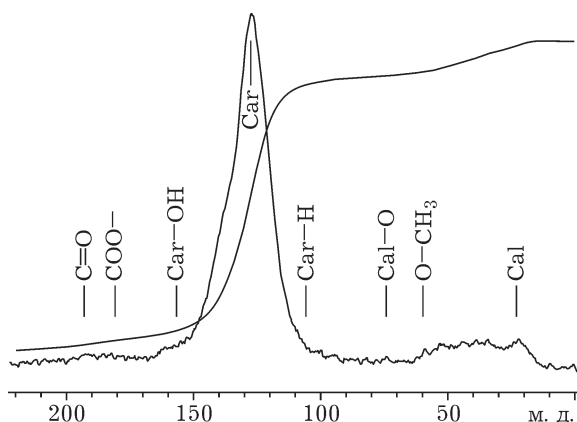


Рис. 1. ¹³C ЯМР-спектр образца угля месторождения Хушут.

тов, связанные с атомами кислорода ($C_{\text{алк}}O$); 60–50 – атомы углерода метоксильных групп ($OC\text{H}_3$); 50–0 – атомы углерода алкильных фрагментов ($C_{\text{алк}}$); 165–95 – степень ароматичности $f_a = (C_{\text{ап}}O + C_{\text{ап}} + CH_{\text{ап}})/100$. Пример обработки ЯМР-спектра приведен на рис. 1.

Термический анализ проводили с использованием термоанализатора фирмы Netzsch STA 409 при следующих условиях: масса образца 40 мг; тигель платиново-иридиевый; нагрев до 1000 °C со скоростью 10 °C/мин в среде гелия. В ходе анализа регистрировали потерю массы (ТГ) и скорость потери массы (ДТГ). Для характеристики термического разложения использовали следующие показатели: T_{max} – температура максимальной скорости разложения; V_{max} – максимальная скорость потери массы в интервале основного разложения; Δt – потеря массы образцом в интервалах температур.

РЕЗУЛЬТАТЫ И ОБСУЖДЕНИЕ

Исследуемый образец угля месторождения Хушуут имеет следующие химико-технологические характеристики: влага аналитическая $W^{\text{a}} = 1.3 \%$, зольность $A^{\text{d}} = 6.2 \%$, содержание общей серы $S_{\text{общ}} = 0.5 \%$, витринита – 42.9 %, семивитринита – 15.2 %, инертинита – 40.7 %; сумма отощающих компонентов 51.4 %; показатель отражения витринита $R_o = 1.85 \%$. Данный образец представляет собой малозольное, малосернистое горючее ископаемое IV стадии метаморфизма; согласно ГОСТ 25543–88,

технологическая марка Т (тощий фюзинитовый, 1ТФ). По содержанию углерода и водорода, атомному отношению H/C, выходу летучих V^{daf} и экстрагируемым спиртобензолом веществ (B^{d}) анализируемая угольная проба относится к гумусовому углю восстановленного типа (табл. 1).

Функциональный состав угля представлен небольшим количеством карбоксильных, карбонильных и фенольных групп (13.3 % от общего содержания кислорода). Основная часть кислорода (86.7 %) включена в макромолекулы угля в виде “неактивных” эфирных и гетероциклических (фурановых, лактонных, хиноидных) группировок, что соответствует представлениям о строении гумусовых тощих углей.

Количественный анализ ^{13}C ЯМР-спектров (табл. 2) свидетельствует о том, что в составе органического вещества (ОВ) угля преобладают ароматические фрагменты: их доля, характеризуемая показателем степени ароматичности f_a , составляет около 80 %. Около 11 % из них приходится на кислородсодержащие ароматические фрагменты; доля кислорода, связанного с углеродом алифатических структур, составляет менее 4 %.

По результатам технического и элементного анализа угля (см. табл. 1) используемые методы окислительного воздействия носят модифицирующий характер и не оказывают деструктивного влияния на угольное ОВ. Так, зольность угля практически не изменяется, а увеличение выхода летучих и растворимых в спиртобензоле веществ после обработки озо-

ТАБЛИЦА 1

Химический состав исходных и модифицированных образцов угля месторождения Хушуут

Способы обработки	B^{d} , %	V^{daf} , %	Элементный состав, % на daf					Атомное отношение		Функциональный состав, мг-экв/г, на daf			Содержание O*, % на daf
			C	H	N	S	O	H/C	O/C	-COOH	-OH	>C=O	
Без обработки	1.4	14.4	86.8	4.0	1.7	0.5	7.5	0.55	0.06	0.03	0.34	0.39	1.0/6.5
Озонирование	5.4	19.3	84.9	3.8	1.7	0.5	9.6	0.54	0.08	0.56	2.04	0.84	5.7/3.9
N_2O	1.5	14.7	87.8	4.3	2.0	0.5	5.9	0.59	0.05	0.05	0.22	1.00	1.3/4.6
НТКП	0.9	13.9	86.2	4.1	1.8	0.5	7.9	0.57	0.07	0.07	0.16	0.46	0.9/7.0

Примечания. 1. B^{d} – выход спиртобензольного экстракта; V^{daf} – выход летучих веществ; daf – сухое беззольное состояние образца. 2. НТКП – окисление в низкотемпературной кислородсодержащей плазме.

* Первое значение – содержание “активного” кислорода, второе – “неактивного”.

ТАБЛИЦА 2

Параметры фрагментного состава образцов углей из спектров ЯМР ^{13}C

Способы обработки	Распределение атомов углерода по структурным группам, отн. %								f_a
	C=O	COO	C _{ap} O	C _{ap}	CH _{ap}	C _{алк} O	CH ₃ O	C _{алк}	
	Диапазон резонансного поглощения, м. д.								
	220–185	185–165	165–145	145–110	110–95	95–60	60–50	50–0	
Без обработки	2.7	2.0	6.4	73.5	2.9	2.4	2.0	8.1	0.83
Озонирование	2.8	3.1	7.1	72.4	2.6	2.8	1.9	7.2	0.82
N ₂ O	2.7	2.2	6.8	77.4	2.4	0.6	1.7	6.2	0.80
НТКП	1.4	1.6	5.9	78.6	2.5	1.5	1.7	6.8	0.87

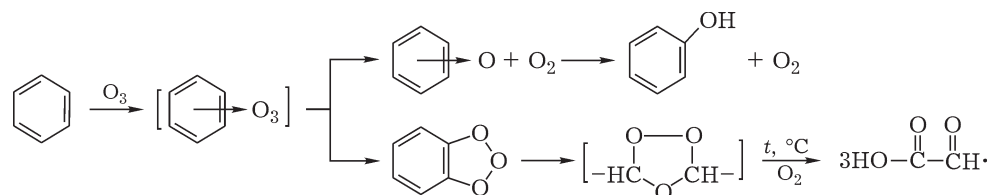
Примечание. f_a – степень ароматичности, $f_a = (\text{CO}_{\text{ap}} + \text{C}_{\text{ap}} + \text{CH}_{\text{ap}})/100$.

Схема 1.

ном обусловлено удалением дополнительно образованных кислородсодержащих продуктов.

Окислительное воздействие на ОВ угля способствует качественному перераспределению кислородных групп в его составе. В частности, после озонирования угля отмечается существенный прирост всех идентифицируемых О-групп, при этом количество “неактивных” групп снижается, вероятно, за счет вовлечения в процессы окисления эфирных “шивок” между макромолекулами угля (см. табл. 1, 2).

Увеличению содержания карбоксильных и фенольных групп, в первую очередь, может способствовать взаимодействие молекул озона с бензольными циклами угольного ОВ с образованием π -комплекса [10]. Конечными продуктами могут быть как фенолы, так и

насыщенные (или ароматические в случае деструкции полициклических структур) озоны, разлагающиеся с образованием альдегидных и кислотных групп (схема 1).

При озонолизе алкил- и нафтоароматических угольных структур возможно “отгорание” насыщенных фрагментов с образованием при этом дополнительного количества фенольных и кетонных группировок [10] (схема 2).

На уменьшение доли алифатического углерода также указывают данные ^{13}C ЯМР-спектроскопии (см. табл. 2).

По данным [3], окисление оксидом азота (I) – специфичная и селективная реакция по отношению к непредельным соединениям. Она протекает по нерадикальному механизму через 1,3-дилярное циклоприсоединение молекулы N₂O

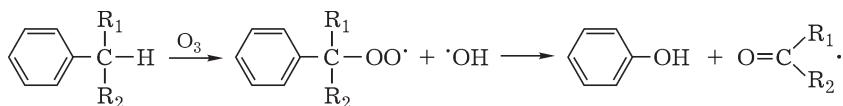


Схема 2.

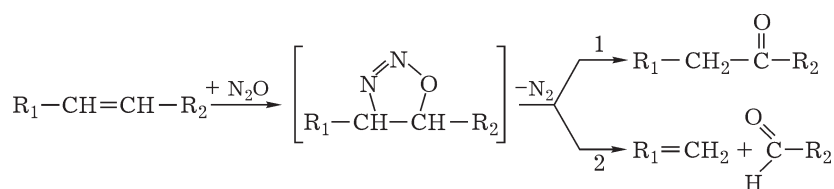


Схема 3.

ТАБЛИЦА 3

Оптические плотности полос поглощения исследуемого образца угля (нормированы по полосе 1460 см⁻¹)

Способы обработки	Полосы поглощения, см ⁻¹											
	3400	3040	2920	1750	1700	1610	1380	1260	1160	1080	870	750
Без обработки	3.17	0.38	0.65	—	0.89	2.21	0.90	0.85	0.65	1.04	0.15	0.37
Озонирование	3.35	0.56	0.98	—	1.00	2.18	0.80	0.96	0.57	0.80	0.13	0.28
N ₂ O	2.88	0.43	0.69	—	0.86	2.00	0.88	0.81	0.56	1.13	0.16	0.29
НТКП	1.32	0.29	1.67	0.42	0.52	1.45	0.90	0.88	0.83	0.75	0.14	0.32

Примечание. Обозн. см. табл. 1.

к C=C-связи алкена с образованием промежуточного оксодиазолинового интермедиата. Распад интермедиата преимущественно идет по механизму водородного сдвига с образованием кетонной группы на одном из атомов углерода при двойной связи (маршрут 1). Однако возможен также распад по так называемому диазомеханизму с разрывом связи C=C и образованием алкена и альдегида (маршрут 2) [3] (схема 3).

Вероятно, применительно к органоминеральному угльному веществу с нерегулярным строением структурных фрагментов селективность реакций карбонилирования снижается. Анализ полученных результатов позволяет предположить, что в заданных экспериментальных условиях, наряду с реакциями кетонизации непредельных связей, происходит термоокислительная деструкция имеющихся в ОВ кислородных групп, в частности фенольных и алкилэфирных (см. табл. 1, 2). Кроме того, по-видимому, не все промежуточные азотсодержащие циклы подлежат разрушению с удалением N₂, поскольку в элементном составе угля фиксируется увеличение содержания азота. На сложность преоб-

разований в ОВ угля при его модифицировании в среде N₂O также указывают данные ИК-спектроскопии (табл. 3). Так, обработанный N₂O образец угля характеризуется снижением оптических плотностей полос поглощения OH- и C-O фенольных групп (3400, 1260 см⁻¹), C-O эфирных групп (1160 см⁻¹) и увеличением оптических плотностей полос поглощения связей C-N и N-O (1080 см⁻¹). Совокупность полученных данных свидетельствует о возможности образования в угольной матрице также и оксодиазолиновых структур.

В условиях низкотемпературной (T < 70 °C) кислородной плазмы процессы “травления” поверхности угольных частиц с сопутствующим им газообразованием преобладают над инициированием окислительных преобразований [3, 10]. На это указывает снижение выхода летучих веществ и экстрагируемых нейтральным растворителем компонентов из угля после его модифицирования в НТКП. Суммарное содержание “активных” O-групп при этом изменяется незначительно, а количество “неактивных” (гетероциклических) – возрастает. По данным табл. 2 и 3, окислительной

ТАБЛИЦА 4

Результаты термогравиметрического анализа образцов углей

Способы обработки	T _{max} , °C	V _{max} , %/мин	Δm, мас. %,				
			в интервалах температур, °C	160–350	350–800	800–1000	160–1000
Без обработки	593	0.35		1.25	10.65	2.66	14.56
Озонирование	570	0.36		3.90	11.76	2.05	17.71
N ₂ O	618	0.42		1.79	12.44	3.10	17.33
НТКП	560	0.33		1.41	10.86	2.29	14.56

Примечание. T_{max} – температура максимального разложения; V_{max} – максимальная скорость потери массы в интервале основного разложения; Δm – потеря массы в соответствующем температурном интервале.

деструкции подвергаются периферийные фенольные (3400 см^{-1}) и карбоксильные (1700 см^{-1}) группы, в результате чего в ОВ образуются ангидридные (появление полосы при 1750 см^{-1}) и эфирные (1160 см^{-1}) "сшивки", возрастает степень ароматичности f_a .

Оценка влияния различных способов окислительного модифицирования на ОВ угля также выполнена с использованием метода термогравиметрического анализа в инертной атмосфере (табл. 4).

Термическая деструкция исходного образца угля характеризуется как минимум тремя стадиями разложения угольного вещества. Первая стадия – в интервале температур 25–160 °C – обусловлена главным образом десорбцией гигроскопической влаги и иммобилизованных в порах углеводородных веществ. Потеря массы в данном интервале температур составляет 1.5 %, что, по данным технического анализа, соответствует содержанию влаги (1.3 %). В интервале температур от 160 до 350 °C, очевидно, происходит разложение фрагментов, содержащих функциональные группы O, S и N. Потеря массы в данной температурной области у исходного образца незначительна (1.25 %), что может быть связано с низким содержанием гетероатомов в ОВ высокометаморфизованного угля (см. табл. 1). Период основной деструкции угольного ОВ довольно протяженный – от 350 до 800 °C. В этом температурном интервале происходят наиболее значительные изменения ОВ, связанные с деструкцией углерод-углеродных связей, выделением летучих продуктов и формированием коксового остатка. Максимум скорости разложения отмечается при 593 °C. Разложение ОВ продолжается и в более высокотемпературной области процесса (>800 °C), что может быть обусловлено как процессами структурирования углеродного остатка, сопровождающимися выделением низкомолекулярных газов (CO, H₂ и др.), так и разложением неорганических соединений (силикатов и карбонатов), входящих в состав минеральной части угля.

После модифицирования угля ход процесса его термической деструкции изменяется (см. табл. 4). У всех модифицированных проб наблюдается увеличение потери массы Δm в низкотемпературной области процесса (150–350 °C), что обусловлено развитием процессов дегидратации и декарбоксилирования накопленных

кислородных групп (см. табл. 1). Наибольшая потеря массы в этом интервале температур соответствует озонированному образцу.

В интервале основного разложения угольного ОВ (350–800 °C) интенсивность термической деструкции V_{\max} заметно возрастает только у образца, обработанного оксидом азота (I); температура максимального разложения T_{\max} при этом увеличивается на 25 °C по сравнению с исходным образцом. Вероятно, этому способствует формирование в ОВ при взаимодействии с N₂O более термостойких структур гетероциклического характера, разлагающихся с образованием летучих смолистых продуктов. Для других способов окислительной обработки (в O₃ и НТКП) параметр T_{\max} , напротив, на 23–33 °C сдвигается в область низких температур, что свидетельствует о формировании в угольном ОВ термически менее устойчивых связей.

Общая потеря массы Δm возрастает (приблизительно на 3 %) у образцов, обработанных озоном и оксидом азота (I), причем в первом случае за счет интенсификации термической деструкции в низкотемпературной области процесса (<350 °C), а во втором – в интервале основного разложения угольного вещества (350–800 °C). Модификация в плазме, по-видимому, в большей степени носит поверхностный характер, так как профиль кривой ДТГ и величина конечной потери массы изменяются несущественно.

ЗАКЛЮЧЕНИЕ

Предварительная окислительная обработка угля месторождения Хушуут (Монголия) озоном, оксидом азота (I) и кислородной плазмой приводит к перераспределению в его составе функциональных кислородных групп и изменению выхода летучих и растворимых продуктов (см. табл. 1).

Методами химического анализа, ИК- и ¹³C ЯМР-спектроскопии показано, что наибольшие окислительные преобразования в ОВ происходят вследствие обработки угля озонокислородной смесью. Прирост суммарного количества карбоксильных, карбонильных и фенольных групп (на 4.7 %) при этом сопоставим с увеличением выхода спиртобензоль-

ного экстракта (на 4 %) и выхода летучих веществ (на 4.9 %).

При обработке угля оксидом азота (I) помимо низкомолекулярных карбонилсодержащих продуктов в структуре угольного вещества возможно образование азотсодержащих гетероциклических фрагментов.

Проведение модификации в условиях низкотемпературной кислородной плазмы сопровождается процессами "травления" поверхностных функциональных групп, которые преобладают над инициированием окислительных преобразований.

Термическая деструкция окисленных образцов угля сопровождается интенсификацией газовыделения в низкотемпературной области (150–350 °C) и в зоне основного разложения угольного ОВ (350–800 °C). В первом случае максимальный эффект достигается в результате предварительного озонирования угля, а во втором – при обработке оксидом азота (I). Действие плазмохимического окисления не приводит к значимым изменениям хода процесса термической деструкции угля.

Полученные результаты могут быть полезны при разработке новых и усовершенствования существующих технологических процессов переработки углей.

Авторы выражают благодарность научным сотрудникам и инженерам ИУХМ СО РАН, НИОХ СО РАН, ОАО "Кокс" за помощь в выполнении и

обсуждении результатов физико-химических методов анализа углей: С. Ю. Лырщиковой (ЯМР-спектроскопия), В. Ю. Малышевой, Л. М. Хицовой, Т. Г. Вычиковой (элементный анализ, ИК-спектроскопия), Н. А. Король (химический анализ О-групп), А. А. Нефедову (ТГ-анализ), А. А. Волгину (ХМ-спектроскопия), В. С. Шведу (петрографический анализ), А. С. Харитонову (обработка угля оксидом азота (I)).

Работа выполнена в рамках интеграционного проекта СО РАН и МАН № 13 "Разработка научных основ энергосберегающих технологий глубокой переработки углей Монголии и Западной Сибири РФ методами активирующего химического и физического воздействия".

СПИСОК ЛИТЕРАТУРЫ

- 1 Bat-Orshikh Erdenetsogt, Insung Lee, Delegiin Bat-Erdene, Luvsanchultem Jargal // Int. J. Coal Geol. 2009. Vol. 80. P. 87.
- 2 Атяшева Л. Ф., Емельянова Г. И. // ЖПХ. 1982. Т. 56. С. 2627.
- 3 Starokon E. V., Dubkov K. A., Babushkin D. E., Parmon V. N., Panov G. I. // Adv. Synth. Catal. 2004. Vol. 346. P. 268.
- 4 Мак-Тагgart Ф. Плазмохимические реакции в электрических разрядах. М.: Атомиздат, 1972.
- 5 Семенова С. А., Патраков Ю. Ф., Батина М. В. // Химия уст. разв. 2008. Т. 16, № 4. С. 433.
- 6 Патраков Ю. Ф., Семенова С. А., Федорова Н. И., Иванов Д. П. //ХТТ. 2010. № 6. С. 51.
- 7 Семенова С. А., Заостровский А. Н., Патраков Ю. Ф., Семенов И. В. // ХТТ. 2010. № 6. С. 38.
- 8 Kalaitzidis S, Georgakopoulos A, Christanis K, Iordanidis A. // Geochim. Cosmochim. Acta. 2006. Vol. 70. P. 947.
- 9 Калабин Г. А., Каницкая Л. В., Кушнарев Д. Ф. Количественная спектроскопия ЯМР природного органического сырья и продуктов его переработки. М.: Химия, 2000.
- 10 Разумовский С. Д. Кислород – элементарные формы и свойства. М.: Химия, 1979.